

Voltaremos com este resultado na seção de choque para dois corpos (eq. 38.4):

$$\left(\frac{d\sigma}{d\Omega}\right)_{cm} = \frac{1}{2\bar{E}_A 2\bar{E}_B |\mathbf{v}_A - \mathbf{v}_B|} \frac{|\bar{P}_1|}{4\pi^2 \bar{E}_{cm}} \underbrace{|\mathcal{M}(P_A, P_B \rightarrow P_1, P_2)|^2}_{\frac{1}{4} \sum_{\text{SPINS}} |\mathcal{M}|^2}$$

no nosso caso: $P_A = p$ $P_B = p'$ $P_1 = k$ $P_2 = k'$

$$2E_A = 2E_B = 2E = E_{cm}$$

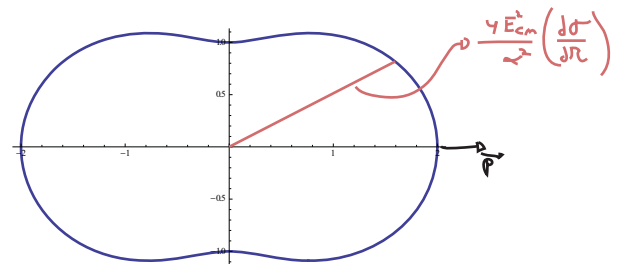
$$\vec{v}_A = \frac{\vec{p}}{E} = \hat{z} \quad \vec{v}_B = \frac{\vec{p}'}{E} = -\hat{z} \Rightarrow |\vec{v}_A - \vec{v}_B| = 2$$

$$\left(\frac{d\sigma}{d\Omega}\right)_{cm} = \frac{1}{2E_{cm}^2} \frac{|\vec{k}|}{4\pi^2 2E} \left[1 + \frac{m_N^2}{E^2} + \left(1 - \frac{m_N^2}{E^2}\right) \cos^2 \theta \right]$$

$$\left(\frac{d\sigma}{d\Omega}\right)_{cm} = \frac{\alpha^2}{4E_{cm}^2} \sqrt{1 - \frac{m_N^2}{E^2}} \left[1 + \frac{m_N^2}{E^2} + \left(1 - \frac{m_N^2}{E^2}\right) \cos^2 \theta \right] \quad (\text{eq. 74.1})$$

No limite ultra-relativístico $E \gg m_N$

$$\left(\frac{d\sigma}{d\Omega}\right)_{cm, \text{ULTRAREL}} = \frac{\alpha^2}{4E_{cm}^2} (1 + \cos^2 \theta) \quad (\text{eq. 74.2})$$



A seção de choque total é encontrada integrando-se sobre o ângulo sólido:

$$d\Omega = \sin(\theta) d\theta d\varphi = 2\pi \sin(\theta) d\theta = -2\pi d(\cos\theta) \quad \int_0^{2\pi} d\varphi = 2\pi$$

$0 < \theta < \pi \quad 1 < \cos\theta < -1$

$$\int_{-1}^1 d(\cos\theta) = 2$$

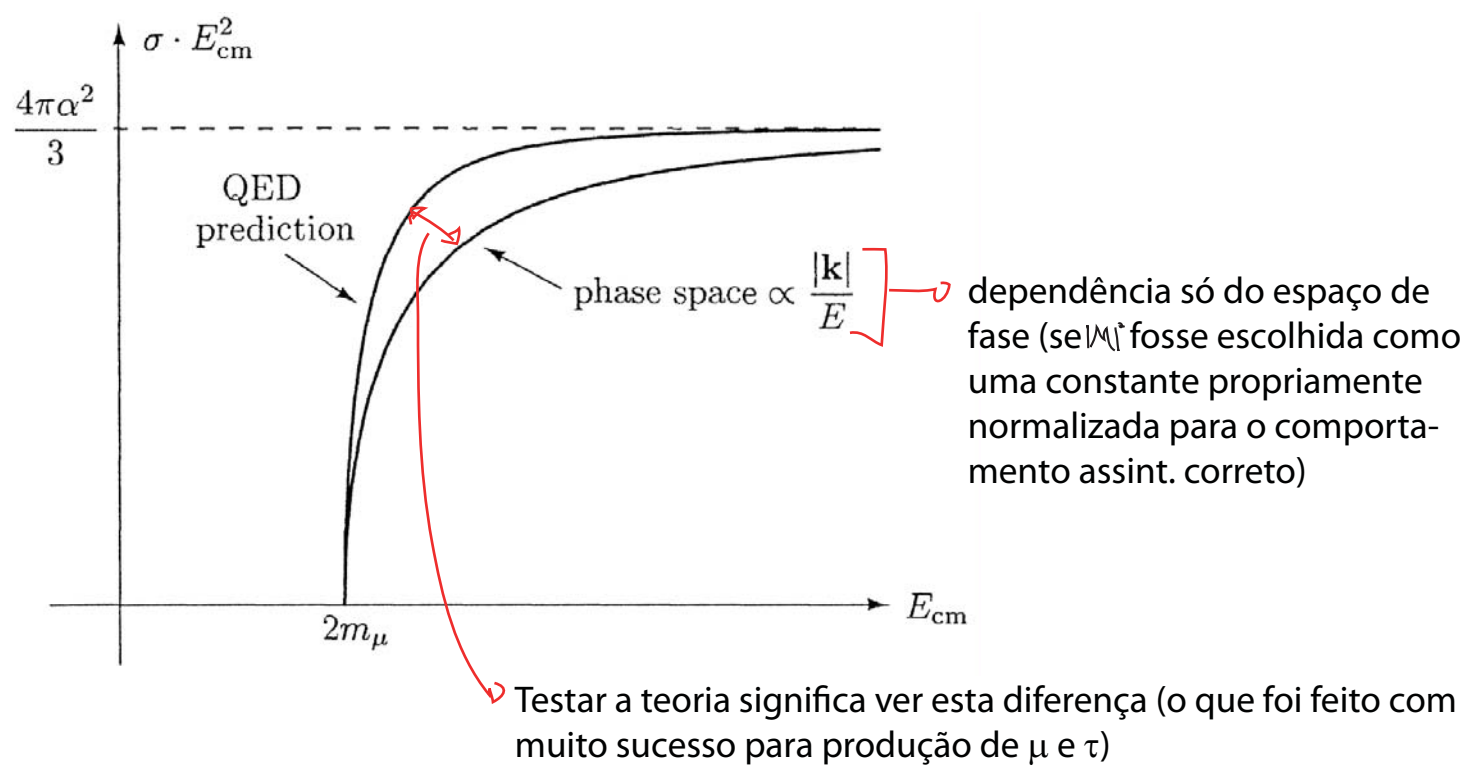
$$\int_{-1}^1 d(\cos\theta) \cos^2\theta = \frac{2}{3}$$

$$\sigma_{TOT} = 2\pi \int_{-1}^1 d(\cos\theta) \frac{\alpha^2}{4E_{cm}^2} \sqrt{1 - \frac{m_N^2}{E^2}} \left[1 + \frac{m_N^2}{E^2} + \left(1 - \frac{m_N^2}{E^2}\right) \cos^2\theta \right] =$$

$$= \frac{\pi \alpha^2}{2E_{cm}^2} \sqrt{1 - \frac{m_N^2}{E^2}} \left[1 + \frac{m_N^2}{E^2} + \frac{1}{3} \left(1 - \frac{m_N^2}{E^2}\right) \right] = \frac{4\pi \alpha^2}{3E_{cm}^2} \sqrt{1 - \frac{m_N^2}{E^2}} \left[1 + \frac{m_N^2}{2E^2} \right] \quad (\text{eq. 74.3})$$

$\frac{4}{3} + \frac{2}{3} \frac{m_N^2}{E^2}$

Que, no limite ultra-relativístico fica: $\sigma_{TOT} = \frac{4\pi \alpha^2}{3E_{cm}^2} \quad (\text{eq. 74.4})$



Produção de pares Quark-Antiquark

Podemos usar o resultado para o espalhamento $e^+ e^- \rightarrow \mu^+ \mu^-$ para estudar outras produções de partículas iniciadas pela aniquilação elétron-positron, em particular no limite de altíssimas energias, muito maiores do que a massa das partículas produzidas.

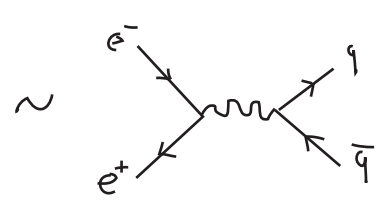
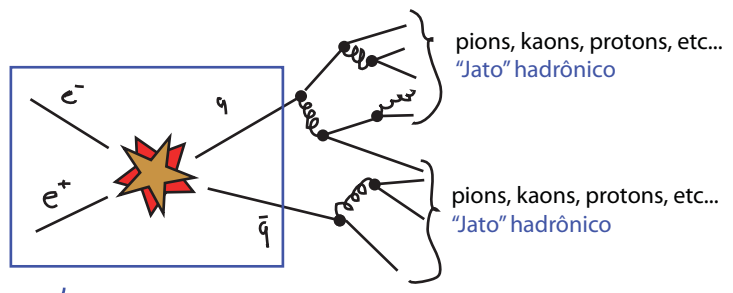
Em particular olharemos agora a produção de Hadrons: partículas que têm interação forte

$$e^+ e^- \rightarrow \text{HADRONS}$$

A QCD nos diz que os Hadrons são feitos de quarks:

q
 \times c
 cor: R, G, B (simetria exata)
 sabor: u, d, s, c, b, t (não são iguais)
 índice espinorial

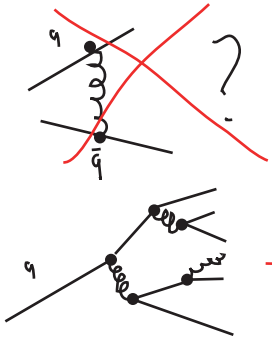
carga diferente: $\begin{cases} u, c, t \rightarrow Q = +2/3 \\ d, s, b \rightarrow Q = -1/3 \end{cases}$
 massas diferentes! $m_u \sim 2 \text{ MeV} \ll m_t \sim 172000 \text{ MeV}$
 $m_u \approx m_d \rightarrow \text{SU}(2)_f$ aproximado
 $m_u \approx m_d \approx m_s \rightarrow \text{SU}(3)_f$ "ainda mais aproximado"



↳ Temos que modificar o nosso cálculo de produção de muons de três formas:

- (I) $e \rightarrow Q |e|$ (fator Q^2)
- (II) $\sigma \sim \sigma(e^+ e^- \rightarrow \bar{q}_R q_K) + \sigma(e^+ e^- \rightarrow \bar{q}_G q_G) + \sigma(e^+ e^- \rightarrow \bar{q}_B q_B)$ (fator 3)

(III) quarks não são léptons! Preciso me preocupar com a interação forte entre eles?



→ em altas energias temos liberdade assintótica

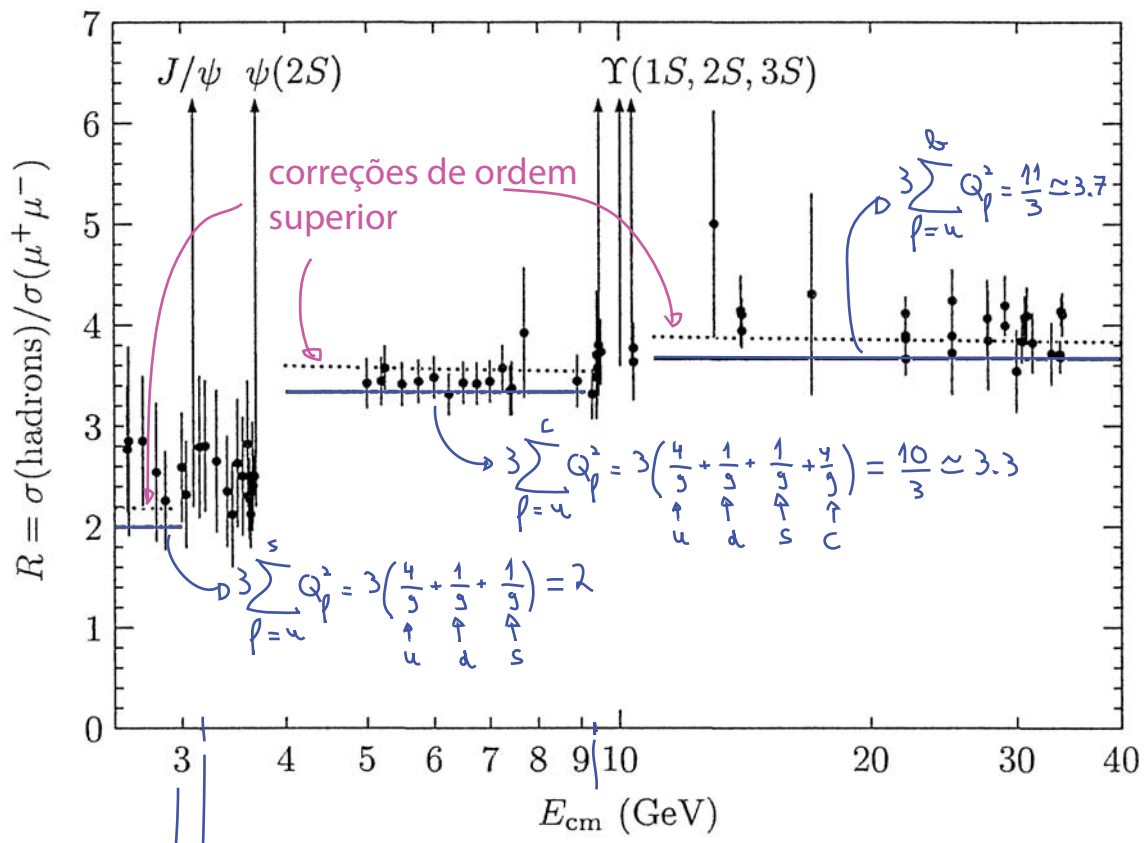
→ podemos separar a produção de dois quarks "independentes" da "hadronização" de cada um deles.

De forma que:

$$\sigma(e^+e^- \rightarrow q_p \bar{q}_p) \underset{E_{cm} \gg 2m_p}{\sim} 3 Q_p^2 \frac{4\pi\alpha^2}{3E_{cm}^2} = 3 Q_p^2 R \quad \sigma(e^+e^- \rightarrow \mu^+\mu^-) \underset{E_{cm} \rightarrow \infty}{\rightarrow} R$$

$$\sigma(e^+e^- \rightarrow \text{HADRONS}) \underset{E_{cm} \rightarrow \infty}{\rightarrow} 3 \left(\sum_p Q_p^2 \right) R \quad \frac{\sigma(e^+e^- \rightarrow \text{HADRONS})}{\sigma(e^+e^- \rightarrow \mu^+\mu^-)} \rightarrow 3 \left(\sum_p Q_p^2 \right)$$

Quando $E_{cm} \sim 2m_p$ os efeitos de QCD se tornam importantes gerando, por exemplo, estados ligados



↳ $\sim 2m_c$ ↳ $\sim 2m_b$
 ↳ $E_{cm} \gg 2m_s > 2m_d > 2m_u$

A verificação deste fator "3" é uma das evidências para a existência do número quântico de "cor" e da existência do grupo de simetria $SU(3)_c$.

Além da seção de choque total, podemos também testar a distribuição angular dos "jatos". Verifica-se experimentalmente que frequentemente temos dois "jatos" e que a distribuição angular destes segue o $(1 + \cos^2 \theta)$ deduzido na eq. 74.2.

Seção de Choque polarizada e Crossing Symmetry

(Nastase 25; Peskin 5.2-5.3)

Para obter um entendimento um pouco melhor da dependência angular em 74.2 exploraremos novamente o espalhamento $e^- e^+ \rightarrow \mu^- \mu^+$, analisando agora as polarizações dos estados. Por simplicidade, tomaremos o limite ultra-relativístico onde: $m_e, m_\mu \rightarrow 0$

Lembrando das definições dos projetores de quiralidade feitas anteriormente e que, para férmions sem massa, temos teorias separadas para ψ_L e ψ_R , notamos que estes são estados de **helicidade** bem definida:

$$\lambda \equiv \frac{\vec{\Sigma} \cdot \vec{P}}{|\vec{P}|} \quad \begin{aligned} \mathcal{L} \psi_R &= -\frac{1}{2} \psi_R \\ \mathcal{L} \psi_L &= +\frac{1}{2} \psi_L \end{aligned}$$

Para estudar polarizações precisamos definir uma base, e nada mais natural que usar as projeções do spin na direção do movimento da partícula, usando portanto estes autoestados de helicidade.

Notemos que:

$$\overline{\psi_L} \equiv \overline{\left(\frac{1-\gamma_5}{2}\psi\right)} = \left(\frac{1-\gamma_5}{2}\psi\right)^\dagger \gamma_0 = \psi^\dagger \frac{1-\gamma_5}{2} \gamma_0 = \overline{\psi} \frac{1+\gamma_5}{2} = \overline{\psi} P_R \equiv (\overline{\psi})_R$$

$\psi_L = P_L \psi = \frac{1-\gamma_5}{2} \psi$

$P_L \gamma_\mu = \gamma_\mu P_R$
 $P_R \gamma_\mu = \gamma_\mu P_L$

$(\overline{\psi})_R (\psi)_L = \overline{\psi} P_R P_L \psi = 0$

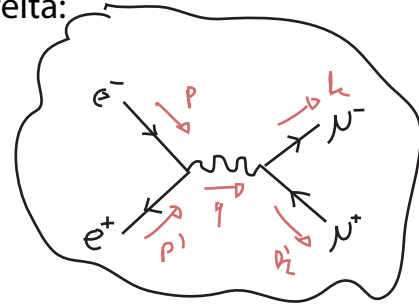
Considere os produtos de spinores aparecendo na equação 66.2 (que queremos calcular), por ex:

$$\overline{u}^{s'}(p') \gamma^\mu u^s(p)$$

queremos calcular este produto usando a base de helicidade: $s, s' \rightarrow u_R, (\overline{v})_L = \overline{v}_R$

Suponha que o elétron inicial estivesse com helicidade de mão direita:

$$u^s(p) = u_R(p) = P_R u(p) = P_R u^s(p)$$



Neste caso podemos introduzir P_R neste produto:

$$\overline{u}^{s'}(p') \gamma^\mu P_R u^s(p) = \overline{u}^{s'}(p') P_L \gamma^\mu P_R u^s(p)$$

De onde vemos que a helicidade do pósitron também está determinada (mão esquerda), de fato, como: $P_R u_L = (\overline{v})_R P_L = 0$

Podemos escrever uma soma sobre spins e, se deixarmos o P_R ali, estaremos somando apenas termos nulos, com exceção do termo que queremos:

$$\overline{u}^{s'}(p') \gamma^\mu u^s(p) = \sum_{s, s'} \overline{u}^{s'}(p') \gamma^\mu P_R u^s(p)$$

Em $|M|^2$:

note que não é uma média, o spin inicial está fixo, somamos um monte de zeros para aparecer com a soma pois ela é conveniente

$$\sum_{s, s'} \overline{u}^{s'}(p') \gamma^\mu P_R u^s(p) \overline{v}^{s''}(k') \gamma^\nu P_R v^{s'}(k) =$$

usando as somas de spin: $\sum_s u_i^s(p) \overline{u}_j^s(p) = (\not{p} + m)_{ij} \simeq \not{p}_{ij}$
 $\sum_s v_i^s(p) \overline{v}_j^s(p) = (\not{p} - m)_{ij} \simeq \not{p}_{ij}$

$$= \text{Tr}[\not{p}' \gamma^\mu P_R \not{p} \gamma^\nu P_R] = \text{Tr}[\not{p}' \gamma^\mu \not{p} \gamma^\nu P_R] =$$

igual ao obtido no caso não polarizado (eq 69.1)

Calculando o traço obtemos:

$$= 2(p'^\mu p^\nu + p'^\nu p^\mu - g^{\mu\nu} p \cdot p' - i \epsilon^{\mu\nu\sigma\rho} p'_\sigma p_\rho) \quad (\text{eq. 78.1})$$

Podemos fazer o mesmo para o outro traço (para os muons finais):

$$\sum_{s, s'} |\overline{u}^s(k) \gamma_\mu P_R v^{s'}(k')|^2 = 2(k'_\mu k_\nu + k'_\nu k_\mu - g_{\mu\nu} k \cdot k' - i \epsilon_{\mu\nu\sigma\rho} k'^\sigma k^\rho) \quad (\text{eq. 78.2})$$

Logo:

$$|M|^2 = \frac{e^4}{q^4} \sum_{RR'} |...|^2 \sum_{SS'} |...|^2 = \frac{16e^4}{q^4} (p \cdot k')(p' \cdot k)$$

$\epsilon^{\rho\sigma\tau\nu} \epsilon_{\alpha\mu\rho\gamma} = -2 (\delta_{\alpha}^{\rho} \delta_{\gamma}^{\sigma} - \delta_{\beta}^{\rho} \delta_{\alpha}^{\sigma})$

novamente (ver pg 73) especializamos para o centro de massa:

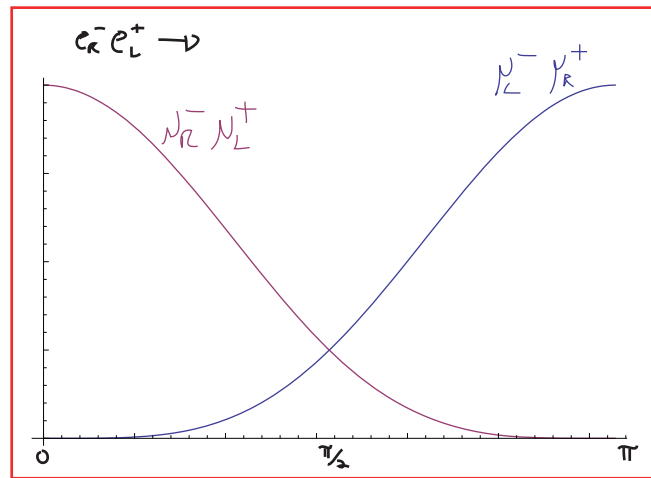
$$\begin{cases} q^2 = 4E^2 \\ p' \cdot k = p \cdot k = E(E + k \cos \theta) \\ E = k \end{cases}$$

$$|M(e_R^- e_L^+ \rightarrow \nu_R^- \nu_L^+)|^2 = e^4 (1 + \cos \theta)^2$$

$$\therefore \left(\frac{d\sigma}{d\Omega} (e_R^- e_L^+ \rightarrow \nu_R^- \nu_L^+) \right)_{cm, n \rightarrow 0} = \frac{|M|^2}{64\pi^2 E_{cm}^2} = \frac{\alpha^2}{4 E_{cm}^2} (1 + \cos \theta)^2$$

Poderíamos fazer a mesma conta para outras polarizações, no caso $e_R^- e_L^+ \rightarrow \nu_L^- \nu_R^+$ o que muda é $p_R \rightarrow p_L$ em 78.2, o que resulta em um sinal na frente do ϵ e obtemos (exercício):

$$\left(\frac{d\sigma}{d\Omega} (e_R^- e_L^+ \rightarrow \nu_L^- \nu_R^+) \right)_{cm, n \rightarrow 0} = \frac{\alpha^2}{4 E_{cm}^2} (1 - \cos \theta)^2$$



Da mesma forma:

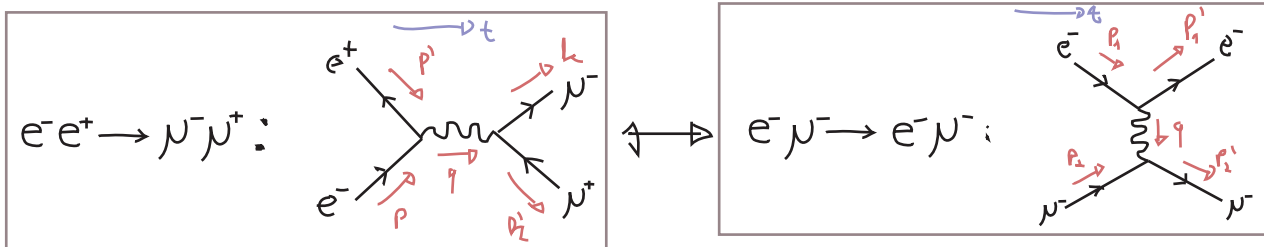
$$\left(\frac{d\sigma}{d\Omega} (e_L^- e_R^+ \rightarrow \nu_L^- \nu_R^+) \right)_{cm, n \rightarrow 0} = \frac{\alpha^2}{4 E_{cm}^2} (1 + \cos \theta)^2$$

$$\left(\frac{d\sigma}{d\Omega} (e_L^- e_R^+ \rightarrow \nu_R^- \nu_L^+) \right)_{cm, n \rightarrow 0} = \frac{\alpha^2}{4 E_{cm}^2} (1 - \cos \theta)^2$$

$$\frac{d\sigma}{d\Omega} (e_L^- e_L^+ \rightarrow \nu_R^- \nu_R^+) = 0 \quad (\text{assim como todas as outras combinações que restam})$$

Crossing symmetry

Dada a natureza das regras de Feynman, é de se esperar que expressões de diagramas bem semelhantes (ainda que representando processos físicos bem diferentes) tenham expressões semelhantes. Considere, por exemplo, os dois diagramas abaixo:



O diagrama da direita, apesar de representar um fenômeno diferente (é um espalhamento elétron-muon, ao passo que o da esquerda é uma aniquilação elétron-pósitron produzindo muon-antimuon), é essencialmente o mesmo que o da esquerda, a menos dos nomes dados aos momentos (basta olhar o da esquerda com o tempo passando de baixo para cima). De fato, as regras de Feynman nos fornecem:

$$i\mathcal{M}(e^- \mu^- \rightarrow e^- \mu^-) = \bar{u}(p_1') (-ie\gamma^\mu) u(p_1) \frac{-ig_{\mu\nu}}{q^2} \bar{u}(p_2') (-ie\gamma^\nu) u(p_2)$$

$$= \frac{ie^2}{q^2} \bar{u}(p_1') \gamma^\mu u(p_1) \bar{u}(p_2') \gamma_\nu u(p_2)$$

$$\therefore \frac{1}{4} \sum_{\text{SPIN}} |\mathcal{M}|^2 = \frac{e^4}{4q^4} \text{Tr}[(\not{p}_1 + m_e) \gamma^\mu (\not{p}_1 + m_e) \gamma^\nu] \text{Tr}[(\not{p}_2 + m_\mu) \gamma_\mu (\not{p}_2 + m_\mu) \gamma_\nu]$$

(eq. 80.1)

$$q = p_2' - p_2 = p_1 - p_1'$$

Compare esta equação com a eq. 69.1:

$$(eq. 69.1) \Rightarrow \frac{1}{4} \sum_{\text{SPIN}} |\mathcal{M}|^2 = \frac{e^4}{4q^4} \text{Tr}[\gamma_\mu (\not{k}' - m_\mu) \gamma_\nu (\not{k} + m_\mu)] \text{Tr}[\gamma^\mu (\not{p} + m_e) \gamma^\nu (\not{p}' - m_e)]$$

$\sum \bar{v}(k')$ (pointing to $\not{k}' - m_\mu$)
 $\not{p}_2' + m_\mu$ (pointing to $\not{k} + m_\mu$)
 $\not{p} + m_e$ (pointing to $\not{p} + m_e$)
 $\not{p}' - m_e$ (pointing to $\not{p}' - m_e$)
 $(\not{p}' - m_e) = -(\not{-p}' + m_e) \xrightarrow{\sum u \bar{u}(p_2)}$
 $\Theta(-\not{p}' + m_e)$
 se cancelam

o que mudou é apenas o nome dos momentos:

$$p \rightarrow p_1 \quad p' \rightarrow -p_1' \quad k \rightarrow p_2' \quad k' \rightarrow -p_2 \quad q = p' + p \rightarrow p_1 - p_1'$$

A seção de choque obtida para este diagrama é (ver Nastase, pgs 227 e 228), no limite ultra-relativístico:

$$\left. \begin{matrix} E \gg m_\mu \\ m_\mu, m_e \rightarrow 0 \end{matrix} \right\} \Rightarrow \left(\frac{d\sigma}{d\Omega} (e^- \mu^- \rightarrow e^- \mu^-) \right)_{cm} = \frac{\alpha^2}{2E_{cm}^2 (1 - \cos\theta)^2} [4 + (1 + \cos\theta)^2] \xrightarrow{\theta \rightarrow 0} \sim \frac{1}{\theta^4}$$

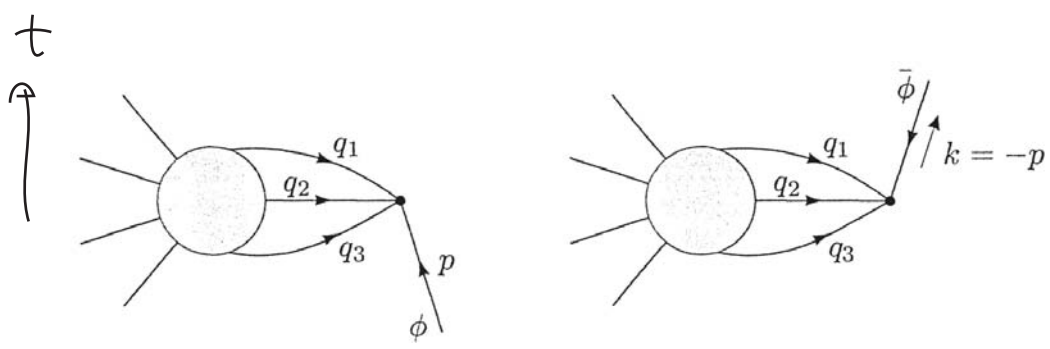
(eq. 80.2)

Note a divergência para ângulos pequenos, este tipo de divergência que aparece no espalhamento de partículas sem massa (neste a partícula em questão é o fóton) é chamada de **divergência IR** (infra-red, pois para pequenos ângulos o momento q trocado é pequeno) e será tratada no curso de TQCII.

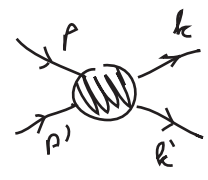
A simetria acima, entre diagramas que podem ser levados um no outro "cruzando" linhas do passado para o futuro é chamada de **Crossing Symmetry** e pode ser generalizada:

$$\mathcal{M}(\phi(p) + \dots \rightarrow \dots) = \mathcal{M}(\dots \rightarrow \bar{\phi}(k) + \dots) \quad k = -p \quad (eq. 216.3)$$

$$\sum u(p) \bar{u}(p) = \not{p} + m = -(\not{k} - m) = -\sum v(k) \bar{v}(k)$$



É mais fácil definir bem esta simetria em termos das **Variáveis de Mandelstam**, que definiremos agora. Dado um processo $2 \rightarrow 2$

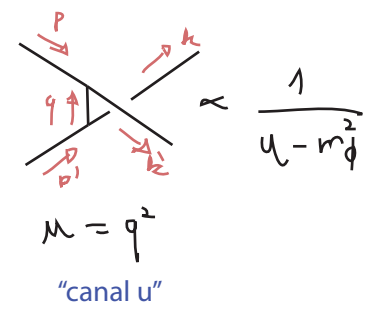
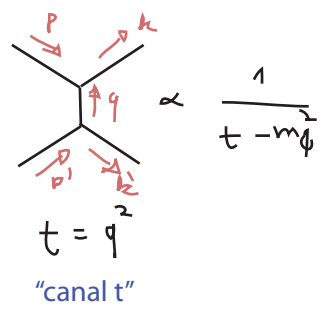
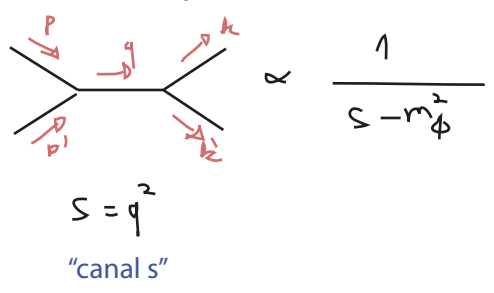


$$\begin{aligned}
 s &\equiv (p + p')^2 = (k + k')^2 = E_{cm}^2 \\
 t &\equiv (k - p)^2 = (k' - p')^2 \\
 u &\equiv (k' - p)^2 = (k - p')^2
 \end{aligned}$$

"t is the squared difference of the initial and final momenta of the most similar particles"

Variáveis de Mandelstam (eq. 81.1)

Note que:



$$s + t + u = p^2 + p'^2 + k^2 + k'^2 = \sum_{i=1}^4 m_i^2 \quad (\text{eq. 81.2})$$

Os três canais terão distribuições angulares diferentes, para ver isso, considere o caso em que todas as massas são iguais:

$$s = E_{cm}^2 \quad (\text{independe do ângulo})$$

$$t \propto (1 - \cos \theta) \quad t \rightarrow 0 / \theta \rightarrow 0$$

$$u \propto (1 + \cos \theta) \quad u \rightarrow 0 / \theta \rightarrow \pi$$

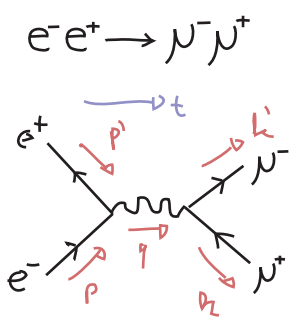
Em termos destas variáveis, podemos re-escrever 72.3 (para o processo $e^-e^+ \rightarrow \mu^-\mu^+$):

$$\frac{1}{4} \sum_{\text{spin}} |\mathcal{M}(e^-e^+ \rightarrow \mu^-\mu^+)|^2 = \frac{8e^4}{s^2} \left[\left(\frac{t}{2}\right)^2 + \left(\frac{u}{2}\right)^2 \right]^{0,0}$$

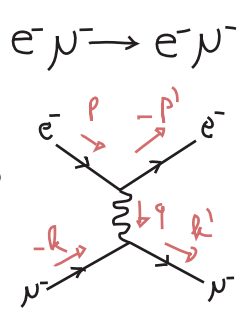
$$\begin{aligned}
 s &= q^2 \\
 t &= (k - p)^2 = -2p \cdot k = -2p' \cdot k' \\
 u &= (p - k')^2 = -2p \cdot k' = -2p' \cdot k
 \end{aligned}$$

\downarrow
 $m_e \sim 0$
 $m_\mu \sim 0$

Agora façamos:



$$\begin{aligned} \bar{s} &= (p+p')^2 \\ \bar{t} &= (k-p)^2 \\ \bar{u} &= (p-k')^2 \end{aligned}$$



$$\begin{aligned} s &= (p-k)^2 = \bar{t} \\ t &= (-p'-p)^2 = \bar{s} \\ u &= (-p'+k)^2 = \bar{u} \end{aligned}$$

⇒

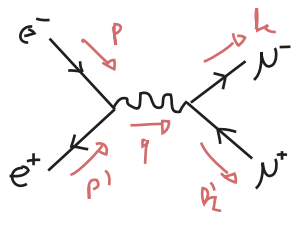
Logo podemos fazer o crossing direto nas variáveis de Mandelstam e obter:

$$\frac{1}{4} \sum_{\text{spin}} |\mathcal{M}(e^+e^- \rightarrow \mu^+\mu^-)|^2 = \frac{8e^4}{s^2} \left[\left(\frac{t}{2}\right)^2 + \left(\frac{u}{2}\right)^2 \right]$$

$$\begin{matrix} s \rightarrow t \\ t \rightarrow s \\ u \rightarrow u \end{matrix} \Rightarrow \frac{1}{4} \sum_{\text{spin}} |\mathcal{M}(e^-\mu^- \rightarrow e^-\mu^-)|^2 = \frac{8e^4}{t^2} \left[\left(\frac{s}{2}\right)^2 + \left(\frac{u}{2}\right)^2 \right]$$

Estrutura de Helicidade em um referencial específico

Façamos novamente o cálculo da seção de choque polarizada de uma forma mais explícita e mais esclarecedora (ainda que mais trabalhosa). Voltamos à amplitude:



$$\mathcal{M} = \frac{e^2}{q^2} (\bar{v}^{s'}(p') \gamma^\mu u^s(p)) (\bar{u}^r(k) \gamma_\mu v^{r'}(k'))$$

No limite: $E_{cm} \gg m_e$

$$u(p) = \begin{pmatrix} \sqrt{p \cdot \sigma^1} \xi \\ \sqrt{p \cdot \sigma^3} \xi \end{pmatrix} \xrightarrow{E \rightarrow \infty} \sqrt{2E} \begin{pmatrix} \frac{1}{2} (1 - \hat{p} \cdot \vec{\sigma}) \xi \\ \frac{1}{2} (1 + \hat{p} \cdot \vec{\sigma}) \xi \end{pmatrix}$$

$$\begin{aligned} p = (E, E\hat{p}) \Rightarrow \begin{cases} p \cdot \sigma = E(1 - \hat{p} \cdot \vec{\sigma}) \\ p \cdot \bar{\sigma} = E(1 + \hat{p} \cdot \vec{\sigma}) \end{cases} & \left(\frac{\sqrt{2E}}{2} (1 - \hat{p} \cdot \vec{\sigma}) \right)^2 = \frac{E}{2} (1 - 2\hat{p} \cdot \sigma + \hat{p} \cdot \sigma \hat{p} \cdot \sigma) = \\ & = E(1 - \hat{p} \cdot \vec{\sigma}) \end{aligned}$$

(Peskin eqs. 3.49 a 3.54)

$$v^r(p) = \begin{pmatrix} \sqrt{p \cdot \sigma^1} \xi \\ -\sqrt{p \cdot \sigma^3} \xi \end{pmatrix} \xrightarrow{E \rightarrow \infty} \sqrt{2E} \begin{pmatrix} \frac{1}{2} (1 - \hat{p} \cdot \vec{\sigma}) \xi \\ -\frac{1}{2} (1 + \hat{p} \cdot \vec{\sigma}) \xi \end{pmatrix}$$